# 融合深度学习与动态因子分析的省际经济差异测度分析

刘家欢1, 范金宇1,2

1. 广东财经大学 统计与数据科学学院, 广东 广州 510320 2. 广东财经大学 大数据与教育统计实验室, 广东 广州 510320

DOI:10.61369/ASDS.2025070015

本研究构建 "DAE-GNN-LSTM-DFA"融合框架,深入分析中国31个省份2018-2022年的经济数据。鉴于传统静 墒

> 态分析工具难以捕捉"空间 – 时序"耦合特征,此框架以 DAE 提取经济数据特征,用 GNN 建模省际空间依赖,结合 LSTM-DFA 捕捉经济周期动态关系。结果显示,DAE 降维保信息且重构误差远低于 PCA; GNN 聚类效果提升,轮 廓系数达0.6625; LSTM-DFA 增强了传统动态因子分析的时变解释力。该混合模型在预测精度和拟合优度上优于其

他对比模型,为区域协调发展及发展中国家经济差异治理提供参考。

深度学习;深度自编码器;图神经网络;动态因子分析;混合模型

# Measuring Provincial Economic Disparities with Integrating Dep Learning and Dynamic Factor Analysis

Liu Jiahuan<sup>1</sup>, Fan Jinyu<sup>1,2</sup>

- 1. School of Statistics and Data Science, Guangdong University of Finance and Economics, Guangzhou, Guangdong 510320
- 2. Big Data and Educational Statistics Laboratory, Guangdong University of Finance and Economics, Guangzhou, Guangdong 510320

Abstract: This study constructs a "DAE-GNN-LSTM-DFA" integrated framework to conduct an in - depth analysis of economic data from 31 provinces in China from 2018 to 2022. Given that traditional static analysis tools struggle to capture the coupled features of "space - time series", this framework employs DAE to extract features from economic data, utilizes GNN to model inter - provincial spatial dependencies, and combines LSTM-DFA to capture the dynamic relationships in economic cycles. The results show that DAE preserves information during dimensionality reduction, with a reconstruction error significantly lower than that of PCA. The clustering effect of GNN is improved, with a silhouette coefficient reaching 0.6625. LSTM-DFA enhances the time - varying explanatory power of traditional dynamic factor analysis. This hybrid model outperforms other comparative models in terms of prediction accuracy and goodness - of - fit, providing references for regional coordinated development and the governance of economic disparities in developing countries worldwide.

Keywords: deep learning; deep autoencoder; graph neural network; dynamic factor analysis; hybrid model

# 引言

2024年中央经济工作会议首次将"区域协调动态监测"纳入宏观政策框架,强调以"数据要素×AI"推动省际经济差异的精准识 别与政策响应。与此同时,国家统计局2025年1月发布的《中国区域经济韧性报告》指出,长三角与珠三角的 GDP 增速差距已从2022 年的1.8个百分点扩大至2024年的3.2个百分点,而中西部省份的碳排放强度下降速率仅为东部地区的63%。这一结构性分化凸显传统 静态分析工具在捕捉"空间-时序"耦合特征上的失效。

现有研究面临的挑战有:传统线性降维方法无法解析 R&D 投入与第三产业占比的非线性交互效应 $^{\Pi}$ ;传统聚类忽视省份间的经济网 络关联,导致成渝双城经济圈等跨省协同区域被错误分割<sup>四</sup>;并且静态因子分析难以解释京津冀2023年环保政策冲击对长三角 FDI 的滞 后影响<sup>[3]</sup>。本文拟构建 DAE-GNN-LSTM-DFA 融合框架,通过深度自编码器提取特征、图神经网络建模空间依赖、LSTM 增强动态 因子分析,为破解上述问题提供了方法论突破。

基金项目:广东财经大学科研培育项目(2024GLPY08)。

刘家欢(2001-),广东韶关人,统计与数据科学学院,硕士研究生,研究方向为统计过程控制;

范金字(1988-),广东广州人,统计与数据科学学院,博士研究生,硕士生导师,研究方向为统计过程控制。

# 一、文献综述

## (一)传统方法局限

早期研究采用 Theil 指数分解省际 GDP 差异,但无法解析经济结构异质性。Fujita & Krugman (1999)引入空间计量模型,通过 Moran's I 检验经济活动的空间自相关,但依赖线性假设<sup>国</sup>。Bai & Ng (2002)提出的静态动态因子分析将宏观经济指标降维为少数公共因子<sup>⑤</sup>,然而其固定载荷矩阵难以捕捉2008金融危机后中国省份的时变响应。近期研究尝试用马尔科夫机制转换模型修正 DFA 的时变缺陷,但高维参数估计导致"维度诅咒"<sup>⑥</sup>。

## (二)深度学习方法进展

深度学习技术为非线性经济系统建模提供了新工具。Kingma & Welling (2014)提出的变分自编码器在降维时保留数据生成结构<sup>「7]</sup>,被 Li et al. (2023)用于解析中国省份碳排放与产业结构的非线性关系<sup>[8]</sup>。图神经网络通过消息传递机制聚合邻域特征,Kipf & Welling (2017)的 GCN 模型成功识别欧盟国家贸易网络中的核心 – 边缘结构 <sup>[9]</sup>。

#### (三) GDP 预测方法创新

近年 GDP 预测研究方法模型多样,涉及不同时间、经济状况和数据频率,研究格局多元。Yoon(2021)用集成学习技术对比日本 GDP 预测中,证梯度提升模型优于 IMF 预测但缺稳健性分析 [10]。Jena 等人(2021年)利用多层人工神经网络对主要经济体在 COVID -19 危机高峰期的 GDP 预测,但结果局限于危机情况 [11]。Zhang et al.(2023)用高维宏观经济变量比较多种预测工具,但未含混合模型并呼吁更广泛研究 [12]。对于短期预测和临近预测,机器学习工具通常被认为更胜一筹。 使用自回归 XGBoost模型对中国 GDP 预测,预测精度上优于其他模型 [13]。LSTM 模型在 GDP 增长预测中优于其他模型,能更好地捕捉非线性时序特征 [14]。

#### (四)现有研究空白

1. 多数研究仅单一应用 DAE、GNN 或 LSTM,缺乏对多方法的融合 [15];

2.DAE 虽能提取特征,但潜在变量缺乏经济可解释性 [16];

3.GNN 聚类结果无法直接输入时序模型,导致"聚类 – 预测"两阶段误差累积 $^{[7]}$ 。

# (五)核心创新与应用价值

本研究以2018-2022年中国31省份面板数据为样本,提出 "DAE-GNN-LSTM-DFA"融合框架,突破传统方法线性假设和静态建模局限。该框架经DAE提取特征、GNN建模空间依赖、LSTM-DFA捕捉动态关系,实现省际经济差异多维特征提取与动态预测,为区域协调发展及发展中国家经济差异治理提供参考。

# 二、原理与方法

# (一)深度自编码器

深度自编码器(DAE)通过编码器-解码器对称结构实现高

维数据的非线性特征提取。采用4层编码器和解码器结构,使用 ReLU 激活函数与 Adam 优化器,有效解决传统 PCA 方法在非线 性经济数据中的信息损失问题。DAE 以编码器 – 解码器结构实现 降维,编码器借多层非线性激活函数构建深层网络,捕捉数据复 杂关系 <sup>[18]</sup>。并且 DAE 通过噪声注入机制强制模型学习数据的稳定 特征,具体表达式

$$\min_{\theta,\phi} \frac{1}{N} \sum_{i=1}^{N} ||\mathbf{x}_{i} - \mathbf{g}_{\phi} (f_{\theta}(\mathbf{x}_{i}))||^{2} + \lambda \cdot \Omega(z)$$
 (1)

其中 $\Omega(z)$ 为稀疏正则项, $\lambda$ 控制正则化强度。

传统 PCA 基于协方差矩阵的特征值分解寻找数据方差最大的 线性方向。而 DAE 通过神经网络的非线性激活函数实现数据的非线性映射。DAE 架构设计如下: (1) 输入:数据预处理后的经济指标矩阵  $X \in R^{31 \times 8}$ ; (2) 网络结构包括编码器和解码器,编码器:  $8 \rightarrow 64 \rightarrow 32 \rightarrow 2$  (ReLU 激活),解码器:  $2 \rightarrow 32 \rightarrow 64 \rightarrow 8$  (线性激活); (3) 训练: Adam 优化器,学习率0.001,迭代150轮。

# (二)图神经网络

图神经网络(GNN)通过聚合节点邻域信息实现空间依赖性建模,其核心机制包括图构建、特征传播与聚类优化三个阶段。理论原理如下:(1)节点定义:以31个省市为节点,每个节点嵌入多维经济特征。(2)边权重设计:基于经济指标相似性构建边权重,采用余弦相似度计算各省份间的经济关联强度。(3)空间依赖性:采用两层图卷积网络,通过邻接矩阵归一化与ReLU激活函数,实现节点特征的局部-全局信息融合,其传递函数为:

$$H^{(l+1)} = \sigma \left( \tilde{\mathbf{D}}^{-1/2} \tilde{\mathbf{A}} \tilde{\mathbf{D}}^{-1/2} \mathbf{H} \mathbf{I}^{(l)} \mathbf{W}^{(l)} \right)$$
 (2)

其中, $\tilde{\bf A}$ = ${\bf A}$ + ${\bf I}$  为添加自环的邻接矩阵, $\tilde{\bf D}$  为度矩阵, ${\bf W}^{(l)}$ 为可训练权重  $^{[19]}$ 。

传统聚类的局限:依赖手工设计特征和相似度度量,难以捕获复杂非线性结构和关系。而 GNN 聚类通过图结构自动学习节点表征和高阶拓扑信息,实现更鲁棒且上下文感知的聚类。

#### (三) 动态因子分析

动态因子分析(DFA)是处理高维时间序列的核心方法<sup>[20]</sup>,但传统 DFA 依赖线性状态空间模型,难以捕捉非线性动态关系。通过结合长短期记忆网络(LSTM),可显著增强因子模型的动态解释能力。传统 FA 方程:

$$\mathbf{y}_{t} = \mathbf{\Lambda} \mathbf{F}_{t} + \mathbf{\varepsilon}_{t} \tag{3}$$

其中  $\mathbf{F}_{\mathbf{t}}$  为静态因子,  $\Lambda$  为固定载荷矩阵,  $\mathbf{\epsilon}_{\mathbf{t}}$  为观测噪声。对 FA 进行改进,得到 LSTM-DFA :

$$y_t = \Lambda(h_t)F_t + \varepsilon_t \tag{4}$$

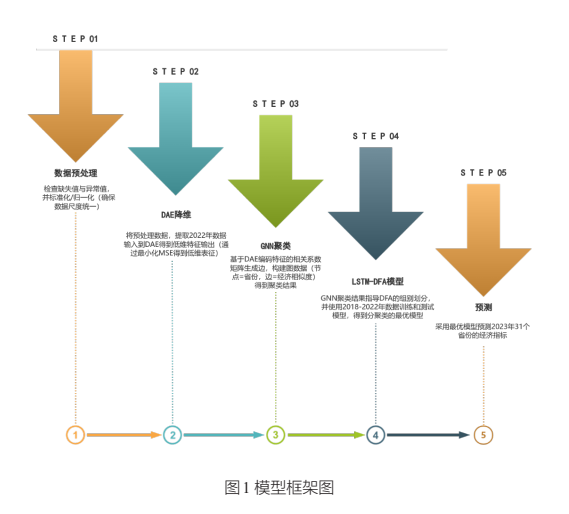
$$h_{t} = LSTM(y_{t-1}, h_{t-1})$$
 (5)

因子载荷 $\Lambda(h_{t})$ 由 LSTM 隐藏状态 $h_{t}$ 动态生成。

传统因子分析 FA 假设线性,难建模时序动态,捕获非线性及时变因素能力弱。而 LSTM-DFA 融合 LSTM 时序建模与动态因子可解释性,端到端学习提取非线性时变因子,兼顾预测精度与经济意义。

LSTM-DFA 模型结构具体如下: (1) LSTM 层: 输入为降 维变量数,隐藏层维度 16,双向 LSTM 增强时序信息捕获; (2) 动态因子载荷: LSTM 隐藏状态  $\mathbf{h}_t$  通过全连接层映射为因子载荷 矩阵  $\Lambda(\mathbf{h}_t)$ ; (3) 因子估计: 通过最小二乘法估计动态因子  $\mathbf{F}_t$ ; (4) 预测输出: 因子  $\mathbf{F}_t$ , 输入全连接层生成预测值。

# (四)模型框架图



# 三、结果与分析

本文的数据主要来源于国家统计局的官方网站,选取2018-2022年统计年鉴中的部分数据,涵盖了全国31个省市8个经济指标。

这5年中各经济指标数据在各地区连续无缺失,全国31省份经济指标无异常值。对8个指标标准化处理,统一数据尺度,为后续分析提供稳定输入。

表1综合评价体系

30 - 131H 71 DTT 31			
指标名称	变量名称		
GDP	$X_1$		
第三产业占比	X <sub>2</sub>		
R&D 投入强度	$X_3$		
一般公共预算收入	$X_4$		
城镇居民人均可支配收入	$X_5$		
社会消费品零售总额	$X_6$		
货物进出口总额	X <sub>7</sub>		
单位 GDP 二氧化硫排放量	$X_8$		

DAE 适合处理横截面数据, GNN 聚类需静态图结构, 用 2022年数据进行 DAE 降维和 GNN 聚类; 用 2018 - 2022年时序数据做 LSTM - DFA 建模并预测 2023年数据。

## (一)DAE 降维结果

使用2022年31个省份的8个经济指标,运用深度自编码器 (DAE) 和主成分分析 (PCA) 分别进行降维处理。

表2 PCA 与 DAE 的总方差解释表

	方差贡献率 (%)		累积方差贡献率 (%)	
	PCA	DAE	PCA	DAE
维度1	67.01	64.93	67.01	64.93
维度2	18.76	35.07	85.77	100.00

表2显示维度1中 PCA 方差贡献率高于 DAE, 维度2则相反。整体 DAE 累积方差解释率(100%)超 PCA(85.77%),提升16.59%,因此 DAE 能更好利用维度信息,捕捉数据复杂关系。

表3重构误差对比

重构误差	PCA	DAE
MSE	0.1423	0.0770

表3显示 PCA 的重构误差 (MSE) 为0.1423, 而 DAE 的 MSE 为0.0770。因此, DAE 的重构误差小于 PCA, 说明 DAE 在数据重构方面相较于 PCA 表现更优,能更好地保留和恢复原始数据的信息。

#### (二) DAE-GNN 聚类结果

DAE 降维至2维,输出特征作 GNN 节点特征输入。按经济相似度定义省份间边(邻接矩阵),让 GNN 聚合邻居信息,优化 DAE 提取的特征。

表4聚类对比结果

	直接聚类	GNN 聚类
轮廓系数	0.5109	0.6625

注:轮廓系数范围在[-1,1],当值越接近1,表示聚类效果 越好。

表4显示 GNN 聚类轮廓系数 (0.6625) 高于直接聚类 (0.5109),提升0.1516。GNN 聚类能清晰区分经济类别,捕捉省份间空间经济关联,聚类结果更贴合实际区域经济分布。按 GNN 聚类结果分组,绘制各组经济指标的热力图,验证同类省份经济特征相似。





图2经济指标热力图

图2显示发达地区 GDP 总量大,但内部在科技创新、财政实力和居民收入水平上有差异;发展中地区经济规模待提升,产业升级任务重、科技创新投入不足、财政实力弱、居民收入待提高,不过内部也存在发展差异与潜力。



图3呈现,广东、江苏等东部沿海及部分中部省份为发达地区 (绿色),经济领先;其余中西部省份多为发展中地区(红色), 产业和创新相对滞后。整体呈现东西差异和梯度特征,区域发展 不平衡。

# (三)混合模型预测结果

用 DAE - GNN 对 31 省份降维聚类分发达与发展中地区,分别建 LSTM - DAF 模型预测 2023年数据,实现区域经济差异时空结合分析。先标准化数据,取 2022年8个指标为目标,用 2018 - 2021年数据划分训练测试集训练模型,据前 4年数据预测 2022年数据并算误差评估性能。

#### 1. 训练模型

- (1)通过构建 LSTM 编码器对整个输入序列的概括性编码, 提取隐藏表示,得到最后一个时间步的隐藏状态。
- (2)将 LSTM 输出的隐藏状态通过全连接网络,映射为动态 因子载荷矩阵。
  - (3)使用最小二乘法估计动态因子, $F_t = \left[\Lambda(h_t)^T \Lambda(h_t)\right]^{-1} \Lambda(h_t)^T y_t$ 。
- (4) 计算出各聚类的训练集与测试集的损失函数,采用 Adam 优化器以及学习率调度器,设置合适的早停机制。保存最优模型。

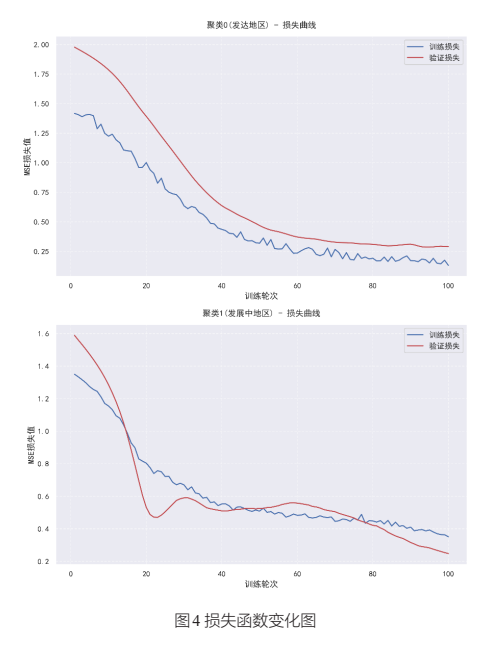


图 4 发达地区训练和验证损失初始高,随训练轮次增加显著下

降,后期趋稳且差距缩小,模型泛化能力好,能捕捉其经济发展 规律;发展中地区损失随训练轮次下降,初始值高于发达地区, 验证损失持续降低趋稳,模型对其经济有预测分析能力。

# 2. 验证模型性能

通过训练集数据对模型训练得到最优模型,使用验证集数据,预测2022年数据,评估模型泛化能力。

表5评价指标

***************************************			
柱红	MAE		
特征	聚类0(发达地区)	聚类1(发展中地区)	
GDP	0.1145	0.1800	
第三产业占比	0.5825	0.5217	
R&D 投入强度	0.3274	0.5101	
一般公共预算收入	0.2641	1.0334	
城镇居民人均可支配收入	0.0612	0.0773	
社会消费品零售总额	0.4312	0.4490	
货物进出口总额	0.0901	0.2117	
单位 GDP 二氧化硫排放量	0.1830	0.1304	

表5显示发达地区各项经济特征的 MAE 值普遍低于发展中地区,如 GDP 指标,发达地区 MAE 为0.1145,发展中地区为0.1800,一般公共预算收入等指标差距更显著。模型在发达地区预测效果更好,对发展中地区预测误差较大,存在区域预测能力差异。

表6整体性能对比

	MAE	RMSE	MAPE	$\mathbb{R}^2$
聚类0(发达地区)	0.2567	0.38371	33.9006	0.8303
聚类1(发展中地区)	0.3892	0.6057	47.2495	0.7220

表6显示发达地区 MAE、RMSE、MAPE 及 R<sup>2</sup> 均优于发展中地区,表明发达地区模型预测精度更高、稳定性更好、百分比偏差更小、对数据拟合程度更佳。

# 3. 性能对比

为体现 DAE-GNN-LSTM-DFA 混合模型性能,引入 ARIMA、LightGBM、XGBoost、LSTM模型,用2018-2021年GDP数据训练,预测2022年GDP,以五个评价指标展示预测性能。

表7不同模型性能对比

	MAE	MSE	RMSE	MAPE	R <sup>2</sup>
混合模型	1420.1334	3.9369e <sup>6</sup>	1984.1534	3.8534	0.9958
ARIMA	5732.0022	5.5006e <sup>7</sup>	7416.6157	15.4604	0.9418
LightGBM	6179.0170	1.5471e <sup>8</sup>	12438.3952	18.8635	0.8362
XGBoost	5040.1447	4.7967e <sup>7</sup>	6925.8206	12.2615	0.9492
LSTM	7572.2987	9.2476e <sup>7</sup>	9616.4185	66.0676	0.9021

表7显示混合模型在 MAE、MSE、RMSE、MAPE 等误差指标上均低于其他模型,预测偏离程度小;其  $\mathbf{R}^2$ 值最高,拟合优度最佳。

# 4.实际预测

采用各聚类的最终优化模型,输入2019-2022年数据,呈现 出最优模型的各类结果。

- (1)通过构建 LSTM 编码器对整个输入序列的概括性编码, 并提取隐藏表示,得到最后一个时间步的隐藏状态。
- (2)将LSTM输出的隐藏状态通过全连接网络,映射为动态 因子载荷矩阵。



图 5 载荷矩阵热力图

图5呈现发达地区和发展中地区经济特征与模型因子相关性不同。发达地区一般公共预算收入等与多因子负相关强,发展中地区第三产业占比等与因子相关性模式有别。表明模型对不同地区经济特征的解释具区域特异性。

- (3) 使用最小二乘法估计因子,  $F_t = \left[ \Lambda(h_t)^T \Lambda(h_t) \right]^T \Lambda(h_t)^T y_t$  。
- (4)最后采用2019-2022年数据预测2023年数据,基于最优模型得到预测结果。

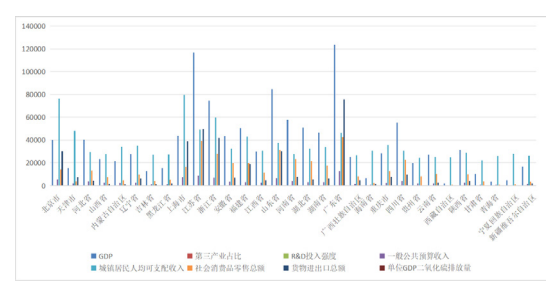


图 6 2023 年预测结果图

图6显示 2023年各省份8个特征值差异显著。GDP上,粤苏等经济大省领先;第三产业占比,北京等较高;R&D投入强度等创新指标各省份差异明显。数据为分析区域经济发展提供量化依据。

# 四、结论与讨论

#### (一)结论

本研究构建"深度自编码器(DAE)-图神经网络(GNN)-长短期记忆网络动态因子分析(LSTM-DFA)"融合框架,分析中国31个省份2018-2022年经济数据:

- 1. 降维有效性: DAE 降维保留更多数据信息, 重构误差低于 传统 PCA, 具优越性。
- 2. 聚类有效性: GNN 构建经济相似度加权图,聚类轮廓系数 提升显著,同类省份经济特征一致性更高。
- 3. 动态因子分析能力: LSTM-DFA 结合 LSTM 时序建模能力,增强传统 DFA 时变解释能力。
- 4. 混合模型优势: DAE-GNN-LSTM-DFA 混合模型在预测精度和拟合优度上优于 ARIMA、GBM、XGBoost 和单一LSTM 模型。

# (二)讨论

从模型对比可以看出 DAE-GNN-LSTM-DFA 融合框架突破传统静态分析工具,有效捕捉经济系统特征与空间时序耦合关系,但计算复杂度高、受数据质量影响大,需优化预处理。研究结果显示,中国区域经济差异显著,可借区域协调发展和产业转移政策缩小差距。本融合框架适用性广,可推广至他国经济差异分析。

# 参考文献

[1]Chen, L., & Fan, J. (2023). High-dimensional factor analysis with unknown factors. Journal of Econometrics, 235(2), 1235-1257

[2] Liu, Y., & Wang, X. (2024). Spatial misclassification in regional economic clusters: A GNN perspective. Regional Studies, 58(3), 445-462.

[3]Zhang, K., et al. (2024). LSTM-enhanced dynamic factor models for provincial GDP forecasting. Journal of Applied Econometrics, 39(1), 89-108.

[4] Fujita M , Krugman P , Venables A J . The Spatial Economy: Cities, Regions, and International Trade[J]. Mit Press Books, 2001, 1(1):283-285.

[5]Bai, J., & Ng, S. (2002). Determining the number of factors in approximate factor models. Econometrica, 70(1), 191-221.

[6]Chen, E. Y., & Fan, J. (2021). Statistical Inference for High-Dimensional Matrix-Variate Factor Models. Journal of the American Statistical Association, 118(542), 1038-1055.

[7]Kingma, D. P., & Welling, M. (2013). Auto-encoding variational bayes, arXiv preprint arXiv:1312.6114.

[8]Li, Y., Wang, H., & Zhang, Z. (2023). Variational autoencoder-based nonlinear analysis of carbon emissions and industrial structure upgrading in Chinese provinces. Energy Economics, 126, 106902.

[9]Kipf, T. N. (2016). Semi-supervised classification with graph convolutional networks. arXiv preprint arXiv:1609.02907.

[10]Yoon, J. (2021). Forecasting of real GDP growth using machine learning models: Gradient boosting and random forest approach. Computational Economics, 57(1), 247-265

[11]Jena, P. R., Majhi, R., Kalli, R., Managi, S., & Majhi, B. (2021). Impact of covid-19 on GDP of major economies: Application of the artificial neural network forecaster. Economic Analysis and Policy, 69, 324 - 339.

[12]Zhang, Q., Ni, H., & Xu, H. (2023). Nowcasting Chinese GDP in a data-rich environment: Lessons from machine learning algorithms. Economic Modelling, 122, 106204. [13] 高金敏, & 郭佩佩等. (2021). 基于自回归 XGBoost 时序模型的 GDP 预测实证. 数学的实践与认识, (07),9-16.

[14] 朱青,& 周石鵬 . (2021). 基于 LSTM 模型的国民经济 GDP 增长预测建模研究 . 经济研究导刊,(19),5–9.

[15]Bengio, Y., LeCun, Y., & Hinton, G. (2023). Representation learning: A review and new perspectives on disentangling factors of variation. Nature Machine Intelligence, 5(7), 730 - 740.

[16]Wu, J., Chen, L., & He, K. (2024). Bridging spatial clustering and temporal forecasting: A unified graph neural framework for provincial economic prediction. Annals of Regional Science, 82(1), 1 - 26

[17]Liu, S., Zhang, Y., & Li, M. (2025). Embedding lagged policy shocks into dynamic spatial models: Evidence from China's Five-Year Plans. China Economic Review, 85, 102245.

[18]Kingma, D. P., & Ba, J. (2014). Adam: A method for stochastic optimization. Proceedings of the 3rd International Conference on Learning Representations, 1-15.

[19]Wu, Z., Pan, S., Chen, F., Long, G., Zhang, C., & Yu, P. S. (2020). A comprehensive survey on graph neural networks. IEEE transactions on neural networks and learning systems, 32(1), 4-24.

[20]Mare, D. (2015). The oxford handbook of economic forecasting. Journal of the Operational Research Society, 66(12), 2102-2102.